

УДК 62.501.52

*Л.Т. Мовчан*

ОПРЕДЕЛЕНИЕ ТОЧНОЙ ГРАНИЦЫ  
ОБЛАСТИ УСТОЙЧИВОСТИ ОДНОГО  
КЛАССА ДИНАМИЧЕСКИХ СИСТЕМ

**Введение**

В [1–7] рассматриваются системы, характеристические полиномы которых могут быть приведены к виду

$$D(s) = L(s) + KH(s), \quad (1)$$

где  $L(s) = b_0s^n + b_1s^{n-1} + \dots + b_{n-1}s + b_n$ ,  $H(s) = c_0s^k + c_1s^{k-1} + \dots + c_{k-1}s + c_k$  — полиномы с постоянными положительными коэффициентами, а  $K$  — изменяемый параметр, влияние которого на устойчивость нас интересует.

В настоящей работе ставится задача — получить оценку интервала области устойчивости (ОУ) параметра  $K$ , для всех значений которого характеристический полином (1) является полиномом Гурвица, или другими словами, все корни характеристического уравнения левые. Как указано в [7], основной недостаток подходов определения границы устойчивости, предложенных в [1–5], — грубая оценка области допустимых значений  $K$ . Кроме того, необходимость получения обратных матриц для матриц, соответствующих диагональным минорам определителя Гурвица [2], и необходимость решения квадратичных неравенств [3, 4] приводят к ограничению практического применения этих методов.

В работах [6, 7] удалось сравнительно просто получить достаточные условия устойчивости системы (1), которые позволяют оценить граничные значения варьируемого параметра  $K$  непосредственно в аналитической форме. Но и в этих работах полученная ОУ может существенно отличаться от действительной. Кроме того, рассматривается два отдельных случая: в первом полином  $L(s)$  в выражении (1) является полиномом Гурвица, во втором —  $H(s)$ , что приводит к необходимости перед решением задачи оценки ОУ исследовать устойчивость полиномов  $L(s)$  и  $H(s)$ .

В наиболее общем случае весьма удобным методом построения точной границы области устойчивости (ГОУ) в пространстве параметров линейных систем является классический метод  $D$ -разбиения [8], который предполагает получение областей, отвечающих заданному числу корней характеристического уравнения в левой полуплоскости. Уравнение границы области  $D$ -разбиения по одному параметру для системы (1) имеет вид

$$D(j\omega) = L(j\omega) + KH(j\omega), \quad (2)$$

в котором  $K$  входит в коэффициенты  $H(j\omega)$ . Изменяя значения  $\omega$  от  $-\infty$  до  $\infty$ , можно вычислить  $L(j\omega)$ ,  $H(j\omega)$  и построить на комплексной плоскости параметра

© Л.Т. МОВЧАН, 2017

К границу всех областей метода  $D$ -разбиения. ГОУ является частью полученной границы  $D$ -разбиения. Область устойчивости выделяют путем реализации «штриховки Неймарка» для отсеивания областей с немаксимальным количеством корней характеристического уравнения, расположенных в левой полуплоскости. В некоторых случаях для замены штриховки при выделении ГОУ используют алгебраические критерии или прямые корневые методы.

Очевидно, что в случае применения в ручном счете классического метода  $D$ -разбиения результат выделения области устойчивости представляется графически, что усложняет определение точной ГОУ в аналитической форме.

### Постановка задачи

В связи с изложенным возникает необходимость разработки подхода определения точной границы области устойчивости в плоскости одного параметра методом  $D$ -разбиения в аналитической форме, который исключал бы построение кривой  $D$ -разбиения, использование «штриховки по Неймарку», тем самым обеспечивал бы машинную реализацию задачи определения ГОУ систем вида (1).

### Решение поставленной задачи

Для решения поставленной задачи используем подход, частично изложенный в [9]. Для этого представим выражение границы  $D$ -разбиения в плоскости одного параметра (2):

$$D(j\omega) = (L_1(\omega) + jL_2(\omega)) + K(H_1(\omega) + jH_2(\omega)) = 0, \quad (3)$$

где в общем виде при четных  $n = 2m$  и  $k = 2r$  ( $n$  — порядок полинома  $L(s)$ ,  $k$  — порядок полинома  $H(s)$ ) имеем:

$$L_1(\omega) = (-1)^m b_0 \omega^n + (-1)^{m-1} b_2 \omega^{n-2} + \dots + (-1) b_{n-2} \omega^2 + b_n,$$

$$L_2(\omega) = (-1)^{m-1} b_1 \omega^{n-1} + (-1)^{m-2} b_3 \omega^{n-3} + \dots + (-1) b_{n-3} \omega^3 + b_{n-1} \omega,$$

$$H_1(\omega) = (-1)^r c_0 \omega^k + (-1)^{r-1} c_2 \omega^{k-2} + \dots + (-1) c_{k-2} \omega^2 + c_k,$$

$$H_2(\omega) = (-1)^{r-1} c_1 \omega^{k-1} + (-1)^{r-2} c_3 \omega^{k-3} + \dots + (-1) c_{k-3} \omega^3 + c_{k-1} \omega,$$

а при нечетных  $n = 2m+1$  и  $k = 2r+1$  получаем:

$$L_1(\omega) = (-1)^m b_1 \omega^{n-1} + (-1)^{m-1} b_3 \omega^{n-3} + \dots + (-1) b_{n-2} \omega^2 + b_n,$$

$$L_2(\omega) = (-1)^{m-1} b_0 \omega^n + (-1)^{m-1} b_2 \omega^{n-2} + \dots + (-1) b_{n-3} \omega^3 + b_{n-1} \omega,$$

$$H_1(\omega) = (-1)^m c_1 \omega^{k-1} + (-1)^{m-1} c_3 \omega^{k-3} + \dots + (-1) c_{k-2} \omega^2 + c_k,$$

$$H_2(\omega) = (-1)^m c_0 \omega^k + (-1)^{m-1} c_2 \omega^{k-2} + \dots + (-1) c_{k-3} \omega^3 + c_{k-1} \omega.$$

Из уравнения (3) следует выражение для определения параметра  $K$ :

$$K(\omega) = \frac{-L_1(\omega) \cdot H_1(\omega) - L_2(\omega) \cdot H_2(\omega)}{H_1^2(\omega) + H_2^2(\omega)} + j \frac{L_1(\omega) \cdot H_2(\omega) - L_2(\omega) \cdot H_1(\omega)}{H_1^2(\omega) + H_2^2(\omega)} = \\ = U(\omega) + jV(\omega). \quad (4)$$

Поскольку параметр  $K$  — действительная, физически значимая величина, то задачу определения границы области устойчивости методом  $D$ -разбиения в плоскости одного параметра можно свести к задаче определения интервала устойчивости,

которым может быть интервал вещественной оси  $(K', K'')$  или  $(K'', \infty)$ , лежащий в плоскости  $[K]$  (рис.1).

Граничные значения  $K'$  и  $K''$  соответствуют точкам пересечения кривой  $D$ -разбиения с действительной осью  $U(\omega)$ , поэтому значения частот  $\omega_0$  и  $\omega_1$ , которым соответствуют эти граничные значения параметра  $K$ , определяются из уравнения

$$L_1(\omega)H_2(\omega) - L_2(\omega)H_1(\omega) = 0 \quad (5)$$

или

$$V(\omega) = \frac{R_V(\omega)}{Q_V(\omega)} = \frac{L_1(\omega)H_2(\omega) - L_2(\omega)H_1(\omega)}{H_1^2(\omega) + H_2^2(\omega)} = 0.$$

Тогда граничные значения параметра  $K$  вычисляются из выражений

$$K' = K(\omega_0) = \frac{-L_1(\omega_0)H_1(\omega_0) - L_2(\omega_0)H_2(\omega_0)}{H_1^2(\omega_0) + H_2^2(\omega_0)}, \quad (6)$$

$$K'' = K(\omega_1) = \frac{-L_1(\omega_1)H_1(\omega_1) - L_2(\omega_1)H_2(\omega_1)}{H_1^2(\omega_1) + H_2^2(\omega_1)}.$$

В общем случае кривая  $D$ -разбиения может пересекать действительную ось  $U(\omega)$  в плоскости одного параметра больше двух раз. Претендентом на интервал устойчивости является интервал, расположенный в области, внутрь которой направлена штриховка по Неймарку.

По определению границу  $D$ -разбиения штрихуют слева при изменении  $\omega$  от  $-\infty$  до  $+\infty$ . Поэтому при  $K' < K''$  интервал  $(K' \text{ и } K'')$  является интервалом устойчивости, если кривая  $D$ -разбиения при изменении  $\omega$  от  $\omega_0 = 0$  до  $\omega_1$  расположена ниже оси  $U(\omega)$ , т.е.  $V(\omega) < 0$  (рис. 2).

Если кривая  $D$ -разбиения для  $K' < K''$  и при изменении  $\omega$  от  $\omega_0$  до  $\omega_1$  расположена выше оси  $U(\omega)$ , т.е.  $V(\omega) > 0$ , то интервал  $K''$  до  $\infty$  является областью устойчивости (рис. 3).

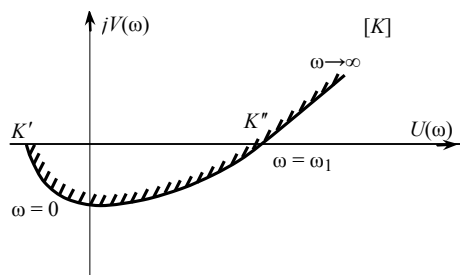


Рис. 2

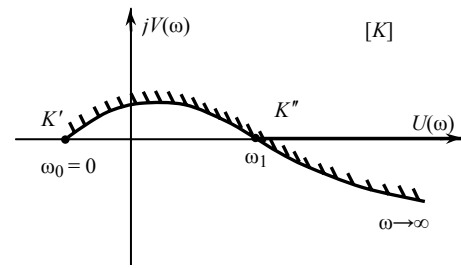


Рис. 3

При  $K' > K''$  интервал  $(K', K'')$  будет интервалом устойчивости, если кривая  $D$ -разбиения при изменении  $\omega$  от  $\omega_0 = 0$  до  $\omega_1$  расположена выше оси  $U(\omega)$ , т.е.  $V(\omega) > 0$  (рис. 4).

Если кривая  $D$ -разбиения при  $K' > K''$  и при изменении  $\omega$  от  $\omega_0 = 0$  до  $\omega_1$  расположена ниже оси  $U(\omega)$ , т.е.  $V(\omega) < 0$ , областью устойчивости является интервал  $(K', \infty)$  и интервал  $(-\infty, K'')$  (рис. 5).

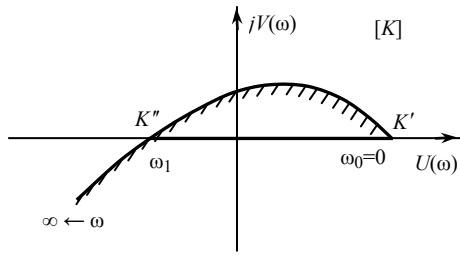


Рис. 4

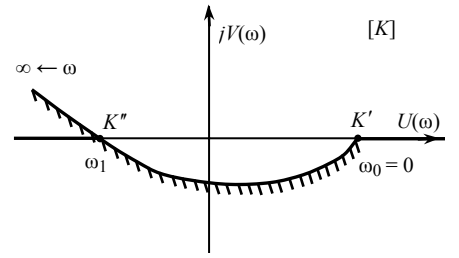


Рис. 5

Из изложенного выше следует, что для определения интервала устойчивости в плоскости параметра  $K$ , используя уравнение (5) и выражения (6), необходимо определить точки пересечения кривой  $D$ -разбиения с осью  $U(\omega)$  ( $\omega_0$ ,  $\omega_1$ ,  $K'$ ,  $K''$ ) и соотношение значений параметра  $K$  в этих точках. Установить факт устойчивости или неустойчивости интервалов, полученных при пересечении оси  $U(\omega)$  кривой  $D$ -разбиения, можно путем определения знака  $V(\omega)$  в пределах граничных значений первого интервала ( $K'$ ,  $K''$ ). Для этого числитель выражения  $V(\omega)$  представим в виде

$$R_V(\omega) = L_1(\omega)H_2(\omega) - L_2(\omega)H_1(\omega) = a_q\omega^l + a_{q-1}\omega^{l-2} + a_{q-2}\omega^{l-4} + \dots + a_2\omega^3 + a_1\omega, \quad (7)$$

где  $l = n + k$ ,  $q = \frac{l+1}{2}$  при непарных значениях  $(n + k)$  и  $l = n + k - 1$ ,  $q = \frac{l+1}{2}$  при парных значениях  $(n + k)$ .

Знак  $V(\omega)$  для частот от  $\omega = \omega_0 = 0$  до  $\omega = \omega_1$  определяется знаком коэффициента  $a_1 = b_n c_{k-1} - c_k b_{n-1}$  при  $\omega$  с наименьшим показателем степени. Поэтому при  $K' < K''$  интервалом устойчивости будет интервал ( $K'$ ,  $K''$ ) при  $a_1 < 0$  и ( $K''$ ,  $\infty$ ) при  $a_1 > 0$ , а при  $K' > K''$  — интервал ( $K'$ ,  $K''$ ) при  $a_1 > 0$  и ( $K'$ ,  $\infty$ ) при  $a_1 < 0$ .

Для иллюстрации возможности практического использования предложенного подхода и получения сравнительной оценки размеров областей устойчивости обратимся к следующим примерам.

**Пример 1.** Рассмотрим, как и в [6,7], систему с характеристическим полиномом

$$D(s) = L(s) + KH(s) = (2s^5 + 3s^4 + 5s^3 + 9s^2 + 6s + 10) + K(s^4 + 6,5s^3 + 14s^2 + 11,5s + 3). \quad (8)$$

Уравнение границы  $D$ -разбиения по одному параметру имеет вид

$$D(j\omega) = (L_1(\omega) + jL_2(\omega)) + K(H_1(\omega) + jH_2(\omega)) = ((3\omega^4 + 9\omega^2 + 10) + j(2\omega^5 - 5\omega^3 + 6\omega)) + K((\omega^4 - 14\omega^2 + 3) + j(11,5\omega - 6,5\omega^3)).$$

После некоторых преобразований получаем выражение для определения параметра  $K$ :

$$K(\omega) = U(\omega) + jV(\omega) = \frac{R_V(\omega)}{Q_U(\omega)} + j \frac{R_V(\omega)}{Q_V(\omega)} = \frac{10\omega^8 - 4,5\omega^6 - 48,5\omega^4 + 98\omega^2 - 30}{(\omega^4 - 14\omega^2 + 3)^2 + (11,5\omega - 6,5\omega^3)^2} + j \frac{-2\omega^9 + 13,5\omega^7 + 11\omega^5 - 69,5\omega^3 + 97\omega}{(\omega^4 - 14\omega^2 + 3)^2 + (11,5\omega - 6,5\omega^3)^2}.$$

Из уравнения  $R_V(\omega) = -2\omega^9 + 13,5\omega^7 + 11\omega^5 - 69,5\omega^3 + 97\omega = 0$  определяем значения частот  $\omega_0 = 0$ ,  $\omega_1 = 2,6395$  рад/с, которые соответствуют точкам пересечения кривой  $D$ -разбиения с осью  $U(\omega)$ , для которых  $V(\omega) = 0$ . Граничные значе-

ния  $K(\omega_0)$  и  $K(\omega_1)$  точек пересечения определяем из выражении (6). В результате получаем  $K' = K(\omega_0) = -3,3333$ ,  $K'' = K(\omega_1) = 2,01987689$ .

Параметр  $K$  — действительная физически значимая величина, претендентом на область устойчивости является интервал  $(0, K'')$  или  $(K'', \infty)$ .

Поскольку  $K' < K''$  и коэффициент в  $V(\omega)$  при  $\omega$  больше нуля ( $97 > 0$ ), то интервалом устойчивости будет  $(K'', \infty)$ , т.е. система будет устойчива при всех

$$K > 2,01987689. \quad (9)$$

Корни характеристического уравнения исследуемой системы при  $K' = K'' = 2,01987689$  равны:  $s_1 = -1,666121$ ,  $s_{2,3} = 0,00000 \pm j2,63949$ ,  $s_{4,5} = -0,42191 \pm j71579$ ; при  $K = 2,00 < K''$  —  $s_1 = -1,666208$ ,  $s_{2,3} = 0,00376 \pm j2,631199$ ,  $s_{4,5} = -0,42079 \pm j0,718715$ , при  $K = 2,03 > K''$  —  $s_1 = -1,666208$ ,  $s_{2,3} = -0,019207 \pm j2,643694$ ,  $s_{4,5} = -0,422474 \pm j0,715786$ .

Таким образом, система находится на границе устойчивости при  $K = K''$ , устойчива при  $K = 2,03$  и неустойчива при  $K = 2,00$ , что дополнительно подтверждает условие устойчивости (9).

Условия устойчивости описаны в работе [7]:

$$K > 4. \quad (10)$$

Сравнивая области устойчивости (9) и (10), можно сделать вывод, что область, полученная с помощью предложенного подхода, более широкая и является точной границей допустимых значений параметра  $K$ .

Применяемый в ручных расчетах классический метод  $D$ -разбиения позволяет графически изобразить границу  $D$ -разбиения системы (8) в плоскости параметра  $K$  (рис. 6). Учитывая, что параметр  $K$  — действительная, физически значимая величина, используя правило штриховки, выделяем границу области устойчивости в интервале вещественной оси ( $K(\omega_1) < K < +\infty$ ), что еще раз дополнительно подтверждает условия устойчивости (9), полученные в аналитической форме с помощью вышепредложенного подхода.

**Пример 2.** Пусть, как и в [6,7],

$$D(s) = (s^5 + 2s^4 + 20s^3 + 15s^2 + 30s + 5) + K(s^4 + 2s^3 + 5s^2 + 15s + 4). \quad (11)$$

Выражение для определения параметра  $K$  имеет вид

$$K(\omega) = \frac{R_U(\omega)}{Q_U(\omega)} + j \frac{R_V(\omega)}{Q_V(\omega)} = \frac{-30\omega^6 + 272\omega^4 - 365\omega^2 - 20}{(\omega^4 - 5\omega^2 + 4)^2 + (15\omega - 2\omega^3)^2} + j \frac{-\omega^9 + 21\omega^7 - 74\omega^5 - 5\omega^3 - 45\omega}{(\omega^4 - 5\omega^2 + 4)^2 + (15\omega - 2\omega^3)^2}.$$

Из уравнения  $R_V(\omega) = -\omega^9 + 21\omega^7 - 74\omega^5 - 5\omega^3 - 45\omega = 0$  определяем значения частот, а из выражения (6) — граничные значения параметра  $K$ , которые соответствуют точкам пересечения кривой  $D$ -разбиения с осью  $U(\omega)$ . В результате получаем  $\omega_0 = 0$ ,  $\omega_1 = 2,17689$  рад/с,  $\omega_2 = 4,0597$  рад/с и  $K'(\omega_0) = K' = -1,25$ ,  $K'' = K(\omega_1) = 7,663515$ ,  $K(\omega_2) = K'' = -1,55$ . Претендентом на область устойчивости является интервал  $(0, K'')$  или  $(K'', \infty)$ . Так как  $K' < K''$ , а коэффициент

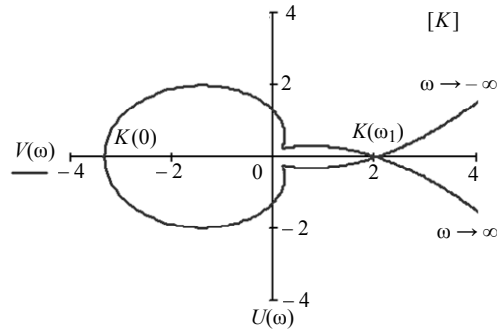


Рис. 6

при  $\omega$  в  $R_1(\omega)$  меньше нуля ( $-45 < 0$ ), то интервалом устойчивости будет  $(0, K'')$ , т.е. система будет устойчива для всех

$$0 \leq K < 7,663515. \quad (12)$$

Корни характеристического уравнения исследуемой системы при  $K = K'' = 7,663515$  равны:  $s_1 = -0,268$ ,  $s_{2,3} = 0,00000 \pm j2,177$ ,  $s_{4,5} = -4,698 \pm j2,45$ ; при  $K = 7,6 < K'' - s_1 = -0,268$ ;  $s_{2,3} = -0,00195 \pm j2,175$ ,  $s_{4,5} = -4,664 \pm j2,48$ ; при  $K = 7,7 > K'' - s_1 = -2,68$ ;  $s_{2,3} = 0,00111 \pm j2,178$ ,  $s_{4,5} = -4,717 \pm j2,429$ .

Таким образом, система находится на границе устойчивости при  $K = K'' = 7,663515$ , устойчива при  $K = 7,6$  и неустойчива при  $K = 7,7$ , что дополнительно подтверждает условие устойчивости (12).

Условия устойчивости системы (11) получены в работах [6,7]:

$$0 < K < 0,3, \quad (13)$$

$$0 < K < 0,7. \quad (14)$$

Из сравнения областей (12)–(14) следует, что предложенный подход позволяет получить максимальную область устойчивости, которая более чем на порядок больше областей, полученных в [6, 7].

Аналогично, как и для примера 1, применяя в ручных расчетах классический метод  $D$ -разбиения, получаем в графической форме границу  $D$ -разбиения системы (11) в плоскости параметра  $K$  (рис. 7, а). Для более наглядного представления области устойчивости граница  $D$ -разбиения в начале координат плоскости параметра  $K$  изображена на рис. 7, б в меньшем масштабе. Согласно правилу штриховки выделяем ГОУ в виде полуинтервала  $0 \leq K < K(\omega_1)$ , что еще раз дополнительно подтверждает условия устойчивости (12).

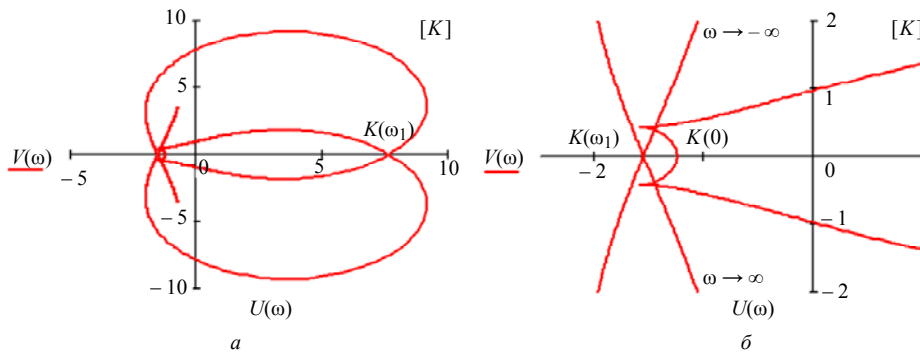


Рис. 7

**Пример 3.** Рассмотрим квазистационарную систему с характеристическим уравнением

$$s^3 + [4 - 0,02K(t)]s^2 + [-1,5 + 4,5K(t)]s + K(t) = 0. \quad (15)$$

В работе [3] путем решения системы алгебраических неравенств получены условия устойчивости системы (15):

$$1 \leq K(t) \leq 100. \quad (16)$$

Для определения точной границы устойчивости системы запишем выражения для определения граничных значений параметра  $K(t)$ :

$$K(\omega) = U(\omega) + jV(\omega) = \frac{4,58\omega^4 + 10,75\omega^2}{(1 + 0,02\omega^2)^2 + 20,25\omega^2} + j \frac{0,02\omega^5 - 16,97\omega^3 + 1,5\omega}{(1 + 0,02\omega^2)^2 + 20,25\omega^2}.$$

Из уравнения  $0,02\omega^5 - 16,97\omega^3 + 1,5\omega = 0$  определяем значения частот, которые соответствуют точкам пересечения кривой  $D$ -разбиения с осью  $U(\omega)$ . Граничные значения параметра  $K(t)$  для этих частот определяем из выражения

$$K(\omega) = \frac{4,58\omega^4 + 10,75\omega^2}{(1 + 0,02\omega^2)^2 + 20,25\omega^2}$$

В результате получаем  $\omega_0 = 0$ ,  $\omega_1 = 0,297322$ ,  $\omega_2 = 29,127506$  и  $K(\omega_0) = 0$ ,  $K(\omega_1) = 0,352978$ ,  $K(\omega_2) = 188,869245$ .

На область устойчивости претендуют интервалы  $(K(0), K(\omega_1))$ ,  $(K(\omega_1), K(\omega_2))$  и  $(K(\omega_2), \infty)$ . Так как  $K(\omega_0) < K(\omega_1)$ , а коэффициент при  $\omega$  в числителе  $V(\omega)$  больше нуля ( $1,5 > 0$ ), то интервалом устойчивости является

$$0,352978 < K(t) < 188,86925. \quad (17)$$

Корни характеристического уравнения исследуемой системы при  $K = K(\omega_2) = 188,86925$  равны:  $s_1 = -0,22262$ ,  $s_{2,3} = 0,00000 \pm j29,12751$ ; при  $K = 188,8 < K(\omega_2) - s_1 = -0,22260$ ,  $s_{2,3} = -0,000699 \pm j29,12301$ ; при  $K = 188,96 > K(\omega_2) - s_1 = -0,22261$ ,  $s_{2,3} = 0,000907 \pm j29,134608$ .

Корни характеристического уравнения системы при  $K = K(\omega_1) = 0,352978$  равны:  $s_1 = -3,99294$ ,  $s_{2,3} = 0,00000 \pm j0,297323$ ; при  $K = 0,35 < K(\omega_1) - s_1 = -3,99627$ ,  $s_{2,3} = 0,001637 \pm j0,295185$ ; при  $K = 0,355 > K(\omega_1) - s_1 = -3,99036$ ,  $s_{2,3} = -0,001297 \pm j0,299603$ ;

Таким образом, система находится на границе устойчивости при  $K = K(\omega_2) = 188,86925$  и  $K = K(\omega_1) = 0,352978$ , устойчива при  $K = 188,8 < K(\omega_2)$  и  $K = 0,352978 > K(\omega_1)$  и неустойчива при  $K = 188,96 > K(\omega_2)$  и  $K = 0,35 < K(\omega_1)$ , что дополнительно подтверждает условия устойчивости (17).

Сравнивая (16) и (17), можно сделать вывод, что предложенный подход позволяет получить точную границу области устойчивости, которая существенно шире области, полученной в работе [3].

На рис. 8, а в графической форме представлена в плоскости параметра  $K(t)$  граница  $D$ -разбиения системы (15), полученная с помощью классического метода  $D$ -разбиения. Для определения нижней границы области устойчивости исследуемой системы кривая  $D$ -разбиения на рис. 8, б представлена в начале координат в существенно меньшем масштабе. Учитывая, что параметр  $K(t)$  — действительная, физически значимая величина и используя правило штриховки, выделяем ГОУ в виде интервала  $K(\omega_1) < K(t) < K(\omega_2)$ , что еще раз дополнительно подтверждает условие устойчивости (17).

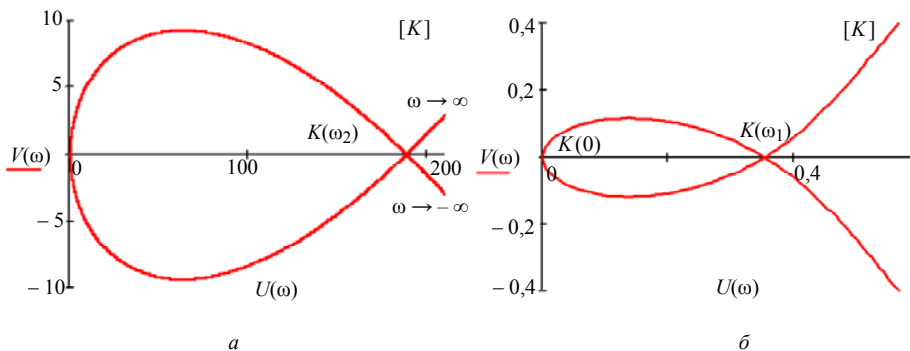


Рис. 8

## Заключение

Предложенный подход позволяет в аналитической форме определить с помощью метода  $D$ -разбиения точную границу области устойчивости в плоскости одного параметра класса динамических систем вида (1). При этом исключается построение кривой  $D$ -разбиения, не требуется использование «штриховки по Неймарку» и обеспечивается машинная реализация построения области устойчивости.

Рассмотрены примеры, в которых иллюстрируется эффективность указанного подхода и подтверждается корневыми методами, что получены именно точные границы области устойчивости для однопараметрического семейства рассматриваемого класса систем.

*Л.Т. Мовчан*

### ВИЗНАЧЕННЯ ТОЧНОЇ ГРАНИЦІ ОБЛАСТІ СТІЙКОСТІ ОДНОГО КЛАСУ ДИНАМІЧНИХ СИСТЕМ

Розглянуто питання побудови за допомогою методу  $D$ -розбиття точної границі області стійкості одного класу динамічних систем. При цьому вилучається побудова кривої  $D$ -розбиття, необхідність використання «штриховки» за Неймарком і забезпечується машинна реалізація побудови області стійкості. Наведено приклади, які ілюструють ефективність запропонованого підходу.

*L.T. Movchan*

### DETERMINING THE EXACT BOUNDARY OF THE STABILITY DOMAIN OF A CLASS OF DYNAMICAL SYSTEMS

The question of the method of construction by means of  $D$ -partition the exact boundary of the stability domain for a class of dynamical systems is considered. This excludes constructing the curve of  $D$ -partition, the need for «hatching» in Neimark machine and provides realization of building stability domain. Numerical examples illustrate the effectiveness of the proposed approach.

1. Пароди М. Локализация характеристических чисел матриц и ее применение / Под ред. М.Г. Крейна. — М.: Изд-во иностр. лит., 1960. — 170 с.
2. Лебедев А.Н. Простой грубый критерий устойчивости линейных непрерывных систем // Изв. вузов. Приборостроение. — 1968. — № 3 — С. 51–54.
3. Маковеев В.И., Новиков А.Н., Соколов Н.И. К вопросу устойчивости линейных квазистационарных систем // Автоматика и телемеханика. — 1976. — № 5. — С. 22–26.
4. Липатов А.В., Соколов Н.И. О некоторых достаточных условиях устойчивости и неустойчивости линейных непрерывных стационарных систем // Там же. — 1978. — № 9. — С. 30–37.
5. Воронов В.С. О достаточных условиях неустойчивости и устойчивости динамических систем // Изв. Вузов. Приборостроение. — 1980. — № 9. — С. 40–43.
6. Цыбульский Г.А. Об одном алгебраическом условии устойчивости линейных динамических систем // Кибернетика и вычислительная техника. — 1986. — Вып. 69. — С. 28–33.
7. Цыбульский Г.А. К оценке устойчивости одного класса динамических систем // Международный научно-технический журнал «Проблемы управления и информатики». — 2014. — № 3. — С. 5–10.
8. Неймарк Ю.Н. Устойчивость линеаризованных систем. — Л.: ЛКВВИЛ, 1949. — 140 с.
9. Мовчан Л.Т., Мовчан С.Л. Машинно-ориентированный подход к построению области устойчивости в плоскости двух параметров линейных непрерывных систем управления методом  $D$ -разбиения // Международный научно-технический журнал «Проблемы управления и информатики». — 2011. — № 1. — С. 30–35.

*Получено 13.03.2017*

*После доработки 15.05.2017*